ISSN-E: 1990-7990 RNPS:2008
Univ Méd Pinareña. Enero-Abril 2022; 18(1):e804

IMAGEN EN LA MEDICINA

Hallazgos tomográficos y ecográficos pulmonares en dos pacientes con neumonía por SARS-CoV-2

Pulmonary tomographic and ultrasound findings in two patients with SARS-CoV-2 pneumonia

Anselmo Abdo-Cuza[1], José Jordan-González[1], Jonathan Pi-Avila[1], Namibia Espinosa-Nodarse[1], Rafael Machado-Martínezs[1]

[1]Universidad de Ciencias Médicas de la Habana. Centro de Investigaciones Médico Quirúrgicas. La Habana, Cuba.

Recibido: 02 de agosto de 2021 | **Aceptado:** 09 de agosto de 2021 | **Publicado:** 28 de agosto de 2021

Citar como: Abdo Cuza A, Jordan González J, Pi Avila J, Espinosa Nodarse N, Machado Martínez R. Hallazgos tomográficos y ecográficos pulmonares en dos pacientes con neumonía por SARS-CoV-2. Univ Méd Pinareña [Internet]. 2022 [citado: Fecha de acceso]; 18(1);e804. Disponible en: http://www.revgaleno.sld.cu/index.php/ump/article/view/804

Palabras clave: COVID-19; SARS-CoV-2; Neumonía; Ultrasonografía.

Keywords: COVID-19; SARS-CoV-2; Pneumonia; Ultrasonography.

Se muestran los hallazgos tomográficos y ecográficos pulmonares de dos pacientes con diagnóstico de neumonía por SARS CoV-2, al momento del ingreso en una unidad de cuidados intensivos. Como método de seguimiento se empleó la evaluación de seis cuadrantes (figura 1) por cada hemitórax o Lung Ultrasound Score, puntuados de acuerdo al patrón ecográfico: líneas A (0 puntos), líneas B (1 punto), líneas B coalescentes: pulmón blanco (2 puntos), consolidación (3 puntos). La puntuación total será la suma de los dos hemitórax.

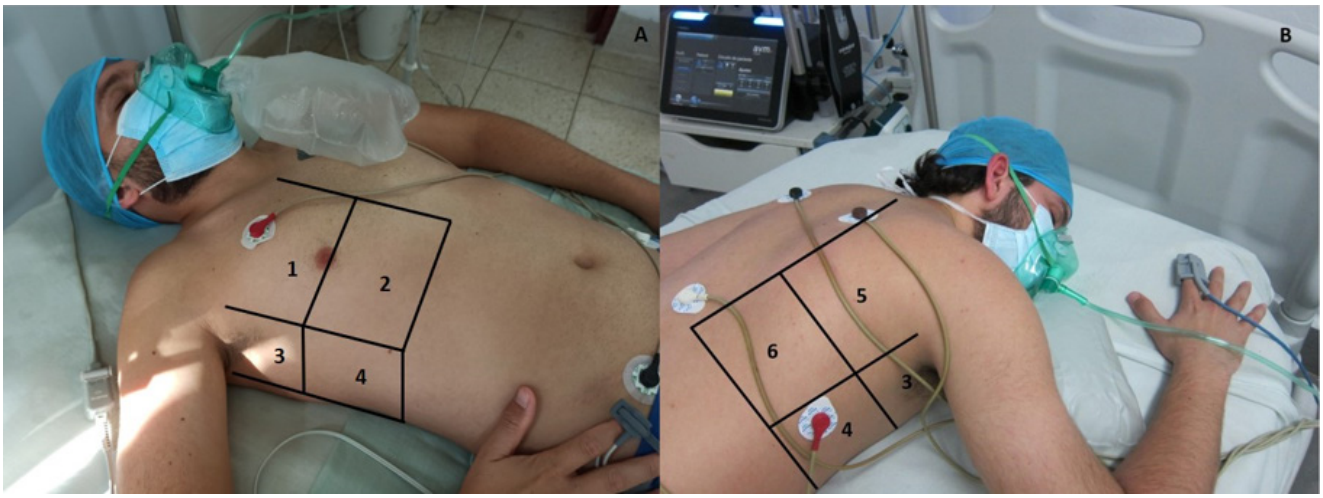

Figura 1. Cuadrantes de exploración para el Lung Ultrasound Score correspondientes a los segmentos superior e inferior de las caras anterior (1,2), lateral (3,4) y posterior (5,6)

En el paciente 1 (figura 2: A,B,C) se observó en corte axial de tomografía computarizada de tórax (A) a nivel de región parahiliar opacidades heterogéneas en ambos campos pulmonares en relación con zonas de consolidación neumónica y áreas en vidrio deslustrado, así como engrosamiento bronco vasculares. En la ecografía pulmonar, la sonda lineal (B) mostró pleura irregular y consolidaciones subpleurales, y la sonda convexa (C) mostró patrón de líneas B.

CC-BY-NC 4.0

ISSN-E: 1990-7990 RNPS:2008
Univ Méd Pinareña. Enero-Abril 2022; 18(1):e804

En el paciente 2 (figura 2: D,E,F) el corte axial de tomografía computarizada de tórax (D) a nivel de región parahiliar mostró lesiones de condensación pulmonar de tipo inflamatorio, de localización bilateral a predominio periférico. En la ecografía pulmonar, la sonda lineal (E) mostró pleura irregular y consolidaciones subpleurales. La sonda convexa (F) mostró signo de "haz de luz - light beam": patrón de pulmón normal intercalado entre líneas B focales.

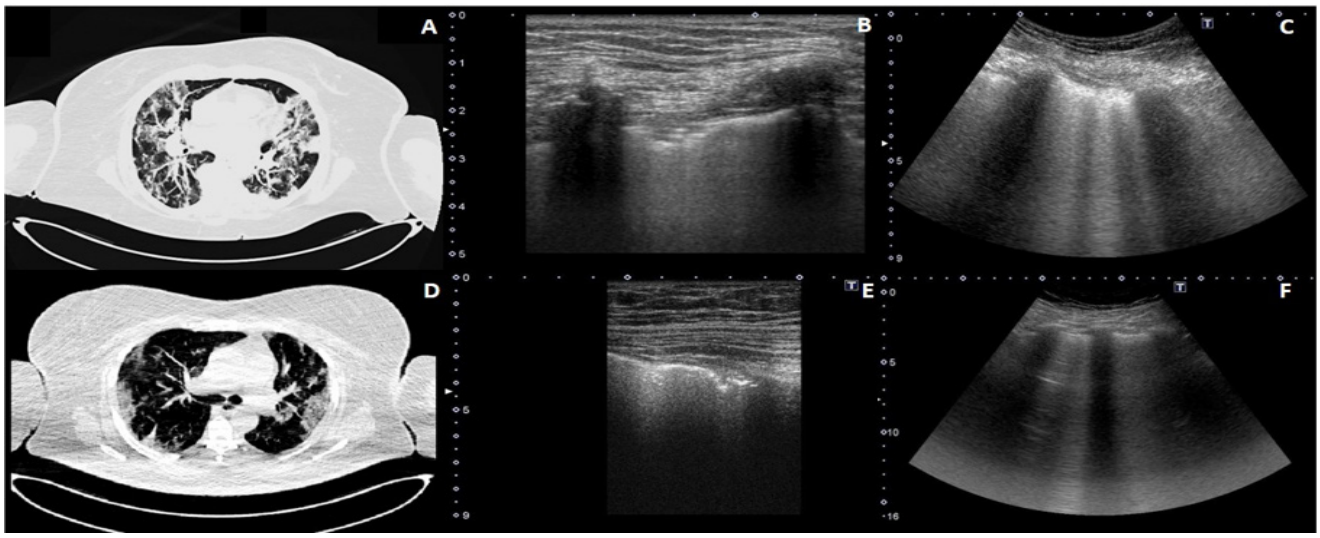

Figura 2. Corte axial de tomografía computarizada de tórax a nivel de región parahiliar (A y D), ecografía pulmonar con sonda lineal (B y E) y sonda convexa (C y F) en dos pacientes con neumonía por SARS-Cov-2

CONFLICTO DE INTERESES

Los autores declaran que no existe conflicto de intereses.

CONTRIBUCIÓN DE AUTORÍA

Todos los autores participaron en la conceptualización, redacción - borrador inicial, redacción - revisión y edición.

FINANCIACIÓN

Los autores no recibieron financiación para el desarrollo del presente artículo.

CC-BY-NC 4.0